

Міністерство освіти і науки України
Тернопільський національний технічний університет імені Івана Пулюя

Факультет прикладних інформаційних технологій та електроінженерії
(повна назва факультету)

Кафедра радіотехнічних систем
(повна назва кафедри)

ЗАТВЕРДЖУЮ

Завідувач кафедри

Дунець В.Л.

(підпис)

(прізвище та ініціали)

«27» травня 2022 р.

**ЗАВДАННЯ
НА КВАЛІФІКАЦІЙНУ РОБОТУ**

на здобуття освітнього ступеня бакалавр
(назва освітнього ступеня)

за спеціальністю 172 Телекомунікації та радіотехніка
(шифр і назва спеціальності)

студенту Багрій Микола Володимирович
(прізвище, ім'я, по батькові)

1. Тема роботи Передавач FM сигналів

Керівник роботи Дедів Ірина Юріївна, к.т.н., доцент
(прізвище, ім'я, по батькові, науковий ступінь, вчене звання)

Затверджені наказом ректора від « 27 » 05 2022 року № 4/7-445

2. Термін подання студентом завершеної роботи 21.06.2021 р.

3. Вихідні дані до роботи Діапазон реєстрованого гамма-випромінювання – 0,004-40 мкр/год;

Час вимірювання – 10 с; Вихід на робочий режим – 30 с; Напруга живлення – 3 В;

Максимальний струм споживання – 50 мА

4. Зміст роботи (перелік питань, які потрібно розробити)

1. Аналіз технічного завдання;

2. Розробка схеми структурної цифрового детектора;

3. Проектування схеми електричної принципової;

4. Вибір і обґрунтування компонентної бази;

5. Розробка компоновки та монтажу цифрового детектора.

5. Перелік графічного матеріалу (з точним зазначенням обов'язкових креслень, слайдів)

1. Структурна схема;

2. Схема електрична принципова;

3. Друкована плата;

4. Друкований вузол;

АНОТАЦІЯ

Тема кваліфікаційної роботи: «Передавач FM сигналів». Кваліфікаційна робота бакалавра// ТНТУ імені Івана Пулюя, ФПТ, група РАС-41. // Тернопіль, 2022р. //с.-78, рис.- 29, бібліог.-15, додат.-3.

Ключові слова: ПЕРЕДАВАЧ, ЧАСТОТНА МОДУЛЯЦІЯ, ФАЗОВА МОДУЛЯЦІЯ, АВТОГЕНЕРАТОР.

Роботу присв'ячено побудові передавача FM сигналів. Проаналізовано методи отримання частотно модульованих сигналів, структурні та функціональні схеми пристроїв для отримання частотно модульованих сигналів, зокрема прямий та непрямий методи, автогенератори та LC контурах, на основі застосування варикапів в LC автогенераторах та автогенераторах, побудованих на кварцових резонаторах. Проведено розроблення структурної та електричної схеми передавача на дискретних елементах і проведено розрахунки окремих вузлів схеми електричної. Вибрано електрорадіоелементи. Розроблено креслення друкованої плати та кінцевого вузла передавача. Технічні вимоги до передавача: несуча частота 100 МГц; смуга модульованого сигналу 300-10000 Гц; схема частотно-модульованого автогенератора В; коефіцієнт фільтрації 25 дБ; потужність випромінювання 15 Вт; коефіцієнт нелінійних спотворень 1,4%.

SUMMARY

Theme of qualification work: "FM transmitter". Qualifying work of a bachelor // TNTU, FPT, group RAs-41. // Ternopil, 2021 //p.-78, fig.-29, bibliog.-15, appendix-3.

Key words: TRANSMITTER, FREQUENCY MODULATION, PHASE MODULATION, AUTO GENERATOR.

The work is devoted to the construction of an FM transmitter. Methods for obtaining frequency modulated signals, structural and functional diagrams of devices for obtaining frequency modulated signals, including direct and indirect methods, autogenerators and LC circuits, based on the use of varicaps in LC autogenerators and autogenerators based on quartz resonators. Development of the structural and electric scheme of the transmitter on discrete elements is carried out and calculations of separate knots of the electric scheme are carried out. Electroradioelements are selected. Drawings of the printed circuit board and the transmitter end unit have been developed. Technical requirements for the transmitter: carrier frequency 100 MHz; modulated signal band 300-10000 Hz; circuit of frequency-modulated autogenerator B; filtering factor 25 dB; radiation power 15 W; nonlinear distortion coefficient 1.4%.

Зміст

Вступ.....	7
1 Основна частина.....	9
1.1 Аналіз технічного завдання.....	9
1.2 Аналіз методів отримання FM сигналів.....	11
1.3 Проектування структурної та функціональної схеми.....	21
1.4 Побудова та параметричний синтез схеми електричної принципової.....	21
1.5 Вибір елементної бази.....	53
1.6 Розробка компоновки та монтажу.....	58
1.7 Висновки до розділу 1.....	65
2 Безпека життєдіяльності, основи охорони праці.....	66
2.1 Основні вимоги до побудови і функціонування системи управління охороною праці.....	66
2.2 Надзвичайні екологічні ситуації та екологічний ризик.....	70
2.3 Висновки до розділу.....	75
Висновки.....	76
Список використаних джерел.....	77
Додатки	

					БМВ 3.020.087.000 ПЗ			
<i>Зм</i>	<i>Арк</i>	<i>№ докум</i>	<i>Підпис</i>	<i>Дата</i>				
<i>Розроб.</i>		Багрий М.В.			Передавач FM сигналів	<i>Лім</i>	<i>Аркуш</i>	<i>Аркушів</i>
<i>Перевір.</i>		Дедів І.Ю.				у	6	78
<i>Н. контр.</i>		Марценюк А.С.				ТНТУ, РАс-41		
<i>Зат. каф.</i>		Дунець В.Л.						
<i>Рецензент</i>		Дозорський В.Г						

ГОСТами деталі та вимірювальні прилади. При розрахунках слід скористатися обчислювальною технікою на основі стандартних програм.

Оскільки будь-яка система радіозв'язку включає радіопередаючий пристрій, функції якого полягають у перетворенні енергії постійного струму джерел живлення в електромагнітні коливання та керуванні цими коливаннями, в роботі проводиться проектування передавача FM сигналів.

Практичне значення отриманих результатів. Результати можна застосувати при проектуванні промислових малопотужних високоефективних передавачів FM сигналів.

					БМВ 3.020.087.000 ПЗ	Арк
						8
Зм	Арк	№ докум	Підпис	Дат		

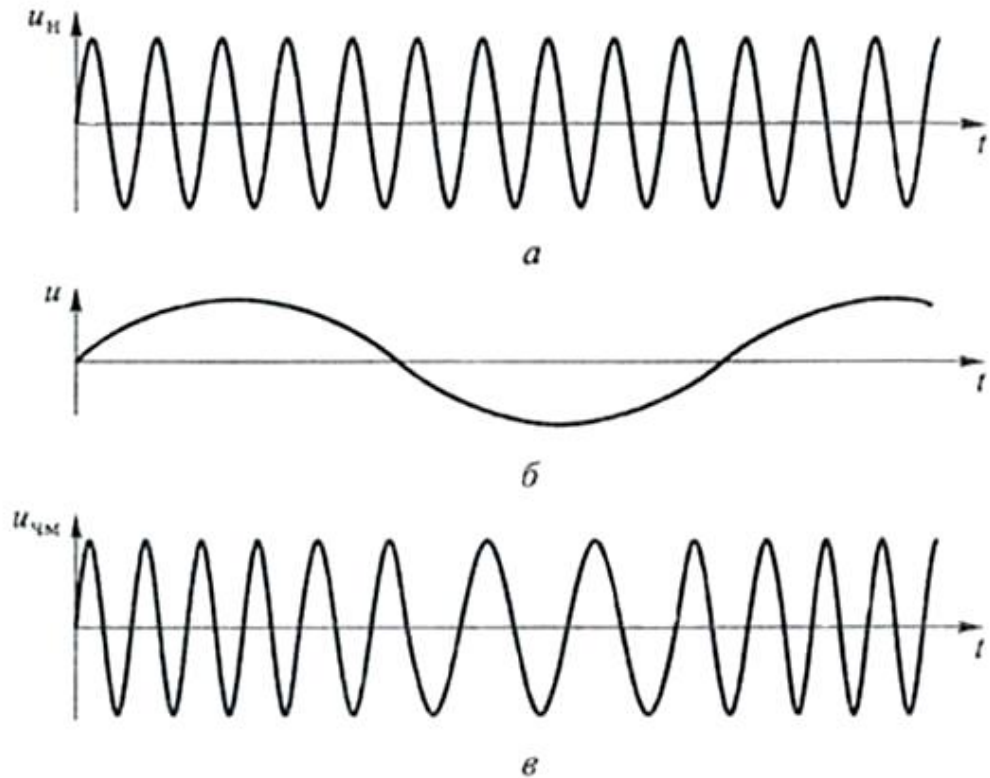


Рисунок 1.1 – Пояснення принципу частотної модуляції:

а - несуче колювання; б - модулюючий сигнал;

в - частотно-модульований сигнал.

При частотній модуляції модульованим параметром є частота гармонійного колювання ω_0 , яка отримує приріст $\Delta\omega$, залежно від часу і пропорційно миттєвому значенню модулюючого сигналу U . У разі гармонійного колювання миттєва частота ω не змінюється в часі, вона дорівнює несучій частоті ω_0 .

При частотній модуляції частота несучого колювання ω зв'язана з модулюючим сигналом U залежністю:

$$\omega = \omega_0 + k_f U, \quad (1.1)$$

де ω_0 - несуча частота несучого коливання; k_c - розмірений коефіцієнт пропорційності між частотою і напругою, рад / (В • с).

Максимальне відхилення миттєвого значення ЧМ коливання відносно середнього називається девіацією частоти:

$$\omega_\delta = \omega m_\phi = k_c U / \omega, \quad (1.2)$$

де ω - миттєве значення кругової частоти; m_ϕ - девіація фази несучого коливання (індекс частотної модуляції), U - амплітуда модулюючого сигналу.

Розрізняють два способи отримання ЧМ: прямий та непрямий.

Прямий метод отримання ЧМ полягає в тому, що модулююче коливання впливає безпосередньо на автогенератор і змінює його частоту. Структурна схема передавача із прямим методом отримання ЧМ наведена на рис. 1.2 а. Модуляція виробляється у генераторі Р з допомогою керованого реактивного елемента КРЕ. Для отримання ЧМ із допустимо малими лінійними спотвореннями використовують автогенератор із LC-контуром, що працює на частотах 1—10 МГц і при малих девіаціях частоти. Для збільшення девіації та отримання заданої робочої частоти застосовують кілька ступенів множення частоти У. Потім слідує тракт підсилення потужності радіочастоти.

Автогенератор із LC-контуром має низьку стабільність частоти. При підключенні до автогенератора КРЕ стабільність погіршується. Для забезпечення необхідної високої стабільності частоти застосовують системи автоматичного підстроювання середнього значення (несучої) частоти передавача (рис. 1.2, б). ЧМ-коливання з тракту посилення передавача спочатку подають на дільник частоти Д для зменшення індексу ЧМ та збільшення рівня середньої частоти ω_0 , потім вони надходять на фазовий детектор ФД, де порівнюються із частотою високостабільного кварцового опорного генератора ОГ. При рівності середньої частоти ЧМ-коливання і

стабілізується по частоті кварцовим резонатором. Однак при цьому стабільність частоти виходить нижче, ніж у кварцового генератора без ЧМ, девіація частоти - невеликі та нелінійні спотворення - близько 10%, що робить такий автогенератор придатним тільки для найпростіших систем низового зв'язку.

Найбільш просто висока стабільність середньої частоти досягається на основі непрямого методу ЧМ (рис. 1.3). У такому передавачі автогенератор не піддають модуляції і тому може бути досягнуто високої стабільності частоти. В одному з наступних ступенів передавача виробляються ФМ коливання генератора. Оскільки індекс ФМ зазвичай не перевищує 0,5-1 рад (30-60 °), що відповідає при заданій частоті модулюючої звукової напруги $F_{зв}$ малій девіації радіочастоти $\Delta f \approx \Delta \phi F_{зв}$, тракт передавача з ФМ доводиться вводити помножувачі частоти (значно більше, ніж у передавачах, що використовують прямий метод отримання ЧМ).

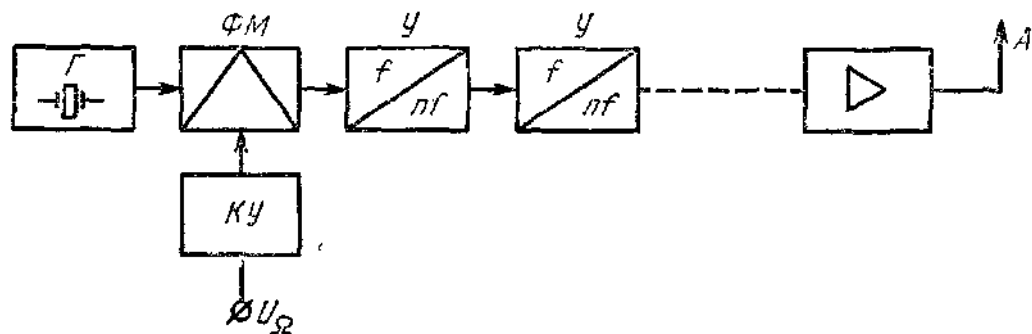


Рисунок 1.3 – Непрямий метод отримання ЧМ

Для того щоб при використанні ФМ отримати на виході передавача радіочастотну напругу, закон зміни частоти якої відповідає ЧМ, перед модулятором ставлять коригуючий пристрій КУ, що є частотно-залежним ділянником напруги - інтегруючий ланцюжок. Чим вище модулююча частота, тим менший рівень напруги подається з його допомогою на ФМ.

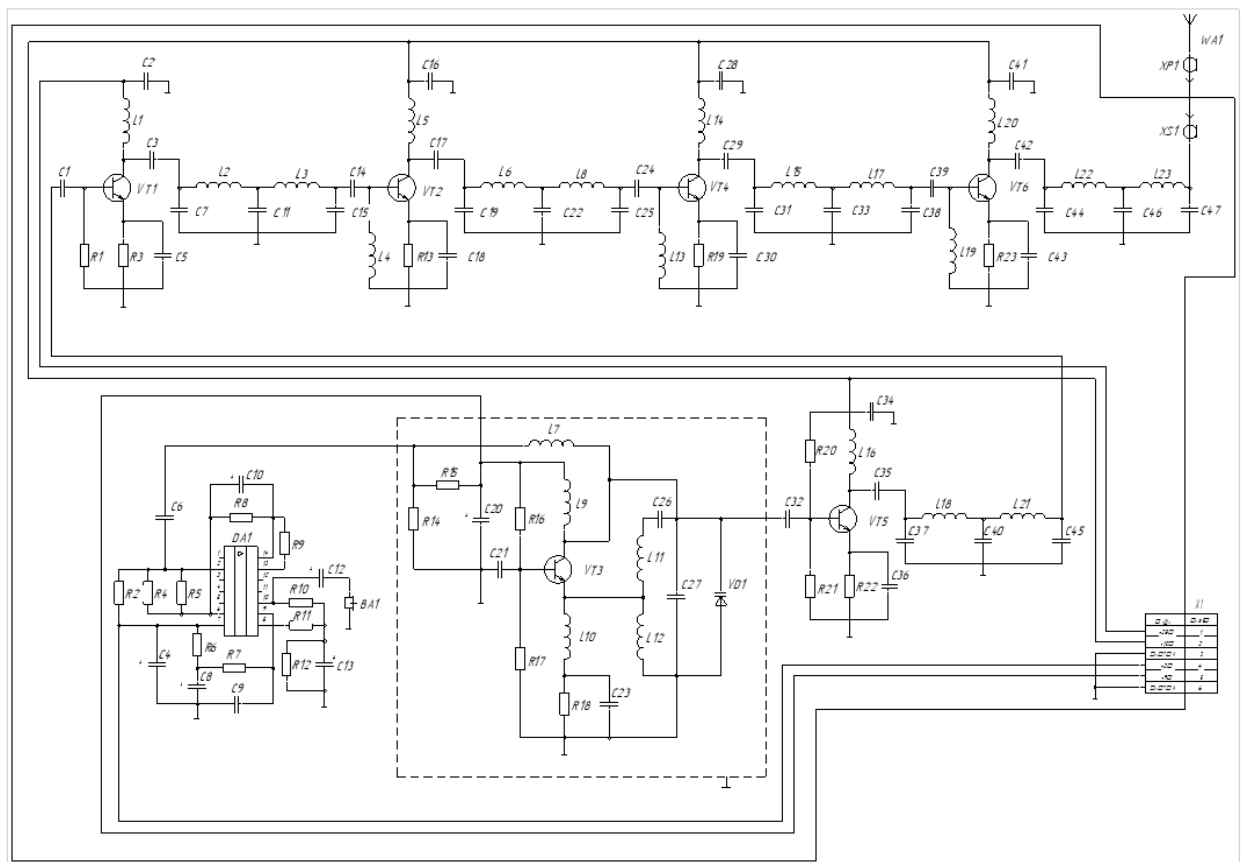


Рисунок 1.10 – Схема електрична принципова передавача

Проведемо розрахунки схеми електричної починаючи з останнього каскаду.

На основі антенної потужності P_A , обчислюємо потужність транзистора вихідного каскаду беручи до уваги втрати у фідері $\eta_\phi = 0.8$ та коливному контурі $\eta_{KC} = 0.9$

$$P_{OK} = \frac{P_A}{\eta_\phi \cdot \eta_{KC}} = \frac{15}{0,8 \cdot 0,9} = 20,8 \text{ Вт}; \quad (1.4)$$

Відповідно:

$$P_{ВЫХ\ OK} = 20,8 \text{ Вт};$$

На основі наступних умов проведемо вибір транзистора:

$$0,3f_T < f_o < f_T; \quad (1.5)$$

$$2P_{ВЫХ} \approx P_{К СПР}; \quad (1.6)$$

де f_o – робоча частота, f_T – максимальне значення частоти за схемою з СЕ,
 $P_{К СПР}$ – найбільша робоча розсіювана потужність, $P_{ВЫХ}$ – значення вихідної
 потужності даного кола.

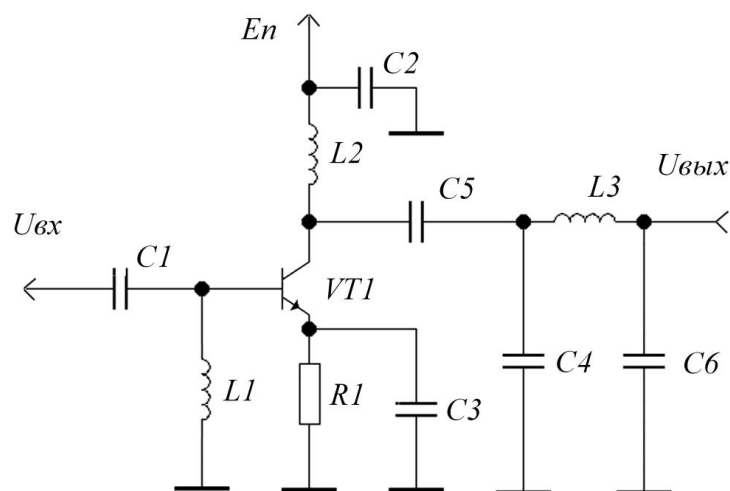


Рисунок 1.11 – Принципова схема кінцевого кола

В якості активного елемента у вихідному каскаді будемо використовувати кремнієвий епітаксійно-планарний n-p-n транзистор КТ 931А. Його електричними параметрами є наступні:

- найбільша робоча частота $f_T = 250 \text{ МГц}$;
- найбільший базовий струм $I_{Б \text{ МАХ}} = 5 \text{ А}$;
- найбільший струм колектора $I_{К \text{ МАХ}} = 15 \text{ А}$;
- найбільша напруга КЕ $U_{КЭ \text{ МАХ ДОП}} = 60 \text{ В}$;
- розсіювана потужність $P_{К СПР} = 150 \text{ Вт}$;
- $\beta_o = 5 \dots 100$;

Задаємося напругою джерела живлення:

$$E_K \leq \frac{U_{KЭ \text{ MAX ДОП}}}{2} = \frac{60}{2} = 30 \text{ В}; \quad (1.7)$$

Вибираємо $E_K = 28 \text{ В}$;

Струм першої гармоніки:

$$I_{K1} \approx \frac{2P_1}{E_K} = \frac{2 \cdot 20.8 \text{ Вт}}{28 \text{ В}} = 1.485 \text{ А}; \quad (1.8)$$

У підсилюючих каскадах для отримання максимального ККД при максимальній потужності задаються кутом відсічення:

$$\theta = 90^\circ (\gamma_1 = 0.5; \gamma_0 = 0.32; \alpha_1 = 0.5; \alpha_0 = 0.32;). \quad (1.9)$$

Амплітуда ІС колектора знайдеться, як

$$I_{K \text{ MAX}} = \frac{I_{K1}}{\alpha_1} = \frac{1.485 \text{ А}}{0.5} = 2.97 \text{ А} < I_{K \text{ MAX ДОП}} = 15 \text{ А}; (I_{K0} = \alpha_0 \cdot I_{K \text{ MAX}} = 0.32 \cdot 2.97 \text{ А} = 0.954 \text{ А});$$

Оскільки:

$$\beta = \frac{f_T}{f_o} = \frac{250 \text{ МГц}}{110 \text{ МГц}} = 2.273; \quad (1.10)$$

визначимо максимальний базовий струм:

$$I_{B \text{ MAX}} = \frac{I_{K \text{ MAX}}}{\beta} = \frac{2.97 \text{ А}}{2.27} = 1.307 \text{ А} < I_{B \text{ MAX ДОП}} = 5 \text{ А}; \quad (1.11)$$

$$P_{BX \text{ ПРОК}} = \frac{P_{BX \text{ ОК}}}{\eta_{КС}} = \frac{7.7 \text{ Вт}}{0,8} = 9.6 \text{ Вт}; \quad (1.16)$$

Передкінцевий каскад має видавати вихідну потужність 7.7 Вт . Схема передкінцевого каскаду наведена на рис. 1.12.

В якості активного елемента в передкінцевому каскаді будемо використовувати кремнієвий епітаксiально-планарний n-p-n транзистор КТ922Б.

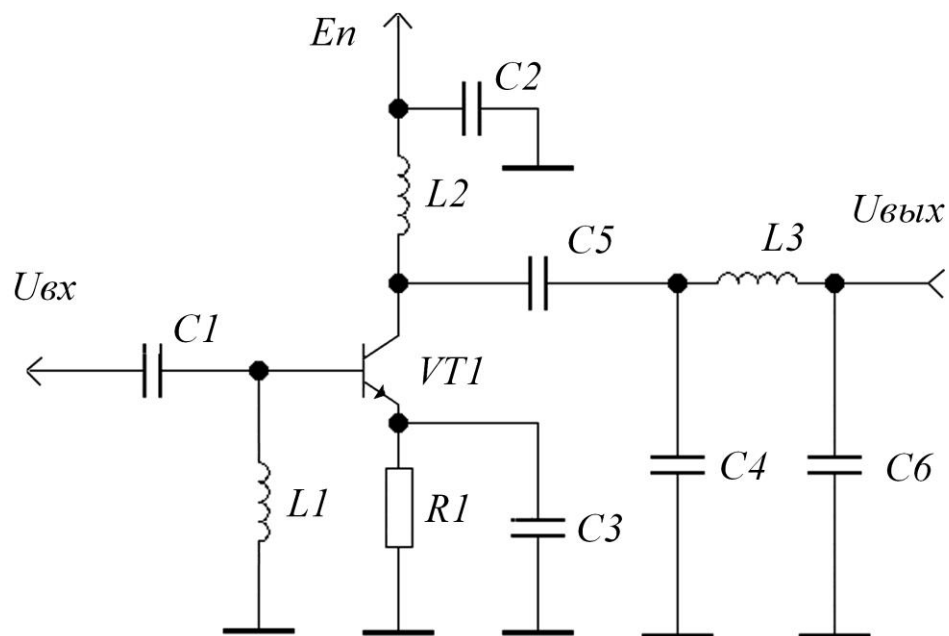


Рисунок 1.12 – Принципова схема передкінцевого каскаду.

Можна виділити наступні характеристики транзистора:

- найбільша частота $f_T = 300 \text{ МГц}$;
- найбільший струм бази $I_{B \text{ МАХ}} = 0.6 \text{ А}$;
- найбільший струм колектора $I_{К \text{ МАХ}} = 1,5 \text{ А}$;
- найбільша напруга КЕ $U_{КЭ \text{ МАХ ДОП}} = 65 \text{ В}$;
- потужність $P_{К \text{ СПР}} = 20 \text{ Вт}$;

Схема проміжного каскаду наведена на рис. 1.13.

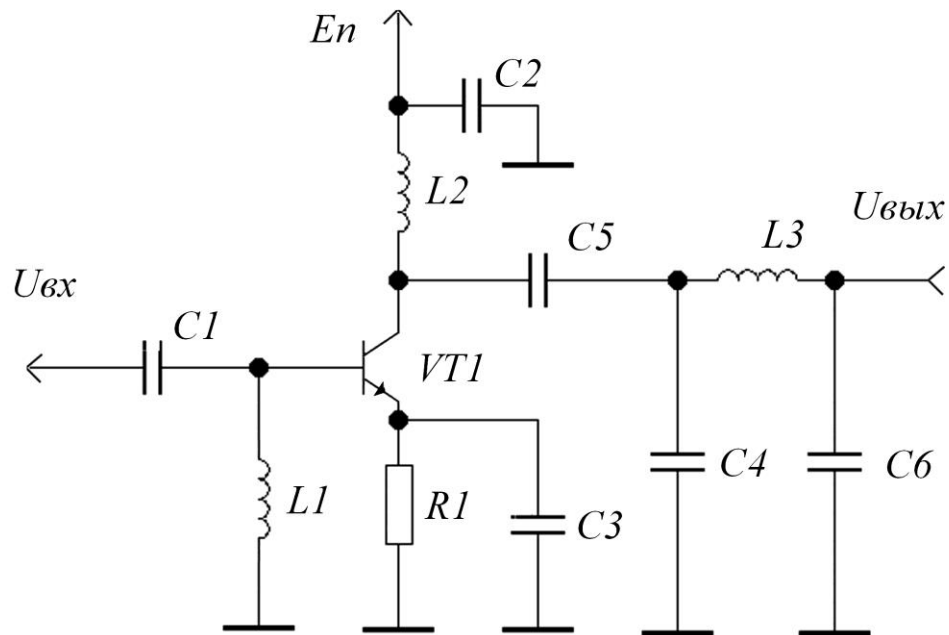


Рисунок 1.13 – Схема електрична проміжного каскаду

Використаємо в цьому колі кремнієвий епітаксiально-планарний n-p-n транзистор КТ922А.

Він має такі електричні параметри:

- найбільша робоча частота $f_T = 300 \text{ МГц}$;
- Найбільший струм бази $I_{B \text{ MAX}} = 0.4 \text{ А}$;
- найбільший робочий струм колектора $I_{K \text{ MAX}} = 0.8 \text{ А}$;
- найбільша напруга КЕ $U_{KЭ \text{ MAX ДОП}} = 65 \text{ В}$;
- потужність $P_{K \text{ СПР}} = 8 \text{ Вт}$;
- $\beta_O = 10 \dots 150$;

Задаємося напругою джерела живлення:

$$E_K \leq \frac{U_{KЭ \text{ MAX ДОП}}}{2} = \frac{65 \text{ В}}{2} = 32,5 \text{ В}; \quad (1.26)$$

Визначаємо крутизну прохідної характеристики:

$$S = \beta S_B, \quad (1.43)$$

де β - коефіцієнт передачі по струму на частоті генерації, S_B - крутизна за базовим переходом.

$$\beta = \frac{f_T}{f_o} = \frac{1100 \text{ МГц}}{110 \text{ МГц}} = 10; \quad (1.44)$$

$$S_B = \frac{1}{r'_B + r_P}; \quad (1.45)$$

де r'_B - омичний опір бази, r_P - опір рекомбінації.

$$r'_B = \xi \frac{\tau_K}{C_K} = 3 \frac{15 \text{ нС}}{4.1 \text{ нС}} = 10.976 \text{ Ом};$$

$$r_P = \frac{\beta}{S_{II}} = ;$$

де S_{II} - крутизна по емітерному переходу,

$$S_{II} = \frac{42,5 \cdot I_{K1}}{1 + 3,66 \cdot 10^{-3} \cdot t_{II}}, \quad (1.46)$$

в автогенераторах для отримання високої стабільності частоти рекомендовано вибирати $I_{K1} = 13 \text{ мА}$, тоді

$$S_{II} = \frac{42,5 \cdot I_{K1}}{1 + 3,66 \cdot 10^{-3} \cdot t_{II}} = \frac{42,5 \cdot 0.013 \text{ А}}{1 + 3,66 \cdot 10^{-3} \cdot 150} = 0.366 \text{ А/В};$$

3. Величина першої гармоніки струму колектора:

$$I_{K1} = SU_B \gamma_1(\theta) = 0.26A/B \cdot 0.154B \cdot 0.39 = 0.015 \text{ A};$$

4. Висота імпульсу колекторного струму:

$$I_{K \text{ MAX}} = SU_B(1 - \cos\theta) = 0.26A/B \cdot 0.154B \cdot (1 - 0.174) = 0.04 \text{ A} < I_{K \text{ MAX ДОП}} = 0.3 \text{ A};$$

5. Постійний струм колектора:

$$I_{KO} = I_{K \text{ MAX}} \cdot \alpha_O = 0.04A \cdot 0.286 = 0.011 \text{ A};$$

6. Максимальна зворотна напруга БЕ:

$$U_{БЭ \text{ MAX}} = |U' - U_B(1 + \cos\theta)| = |0.6 - 0.154(1 + 0.174)| = 0.523B < U_{БЭ \text{ MAX ДОП}} = 4 \text{ B};$$

7. Потужність, що віддається колом колектора:

$$P_{ВЫХ} = 0.5 \cdot I_{R1} \cdot U_{КЭ} = 0.5 \cdot 13mA \cdot 9.058 \cdot B = 0.058 \text{ Вт};$$

8. Потужність, що розсіюється колектором:

$$\eta = 0.5 g_1 \xi = 0.5 \frac{I_{K1}}{I_{KO}} \cdot \frac{U_{КЭ}}{U_{KO}} = 0.5 \frac{13mA}{11mA} \cdot \frac{9.058B}{9B} = 0.59;$$

$$P_K = P_{ВЫХ} \left(\frac{1}{\eta} - 1 \right) = 0.058 \text{ Вт} \left(\frac{1}{0.59} - 1 \right) = 1.1 \text{ Вт} < P_{K \text{ MAX ДОП}} = 1.5 \text{ Вт};$$

Для отримання заданого режиму потрібне навантаження з провідністю, рівною:

					БМВ 3.020.087.000 ПЗ	Арк
						39
Зм	Арк	№ докум	Підпис	Дат		

Конденсатори К50–35 – оксидні полярні.

Добре працюють в електричних колах постійного та пульсуючого струму, робоча напруга становить 25 або 50 В, діапазон ємностей становить від 10 до 10000 мкФ

Вибрані типи резисторів і конденсаторів володіють хорошими температурними і іншими параметрами, тому їх застосування є обґрунтованим.

Варикап вибрано типу КВ110.

КВ110 – варикапи кремнієві епітаксійно-планарні. Випускаються в скляному корпусі з гнучкими виводами (рис. 1.21).

Маса варикапа не більше 0,25 м.

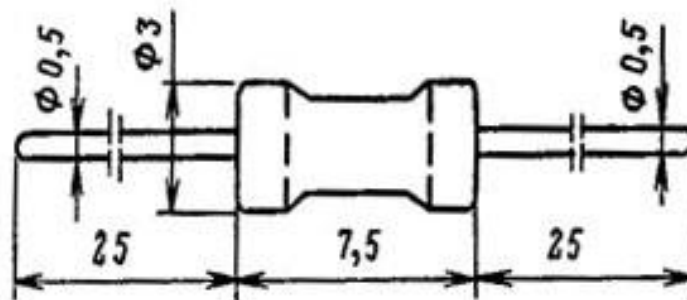


Рисунок 1.21 – Габаритні розміри варикапа КВ110

Технічні характеристики:

- ємність варикапа при $U_{звор} = 4$ В, $f = 1 \div 10$ МГц:

2В110А, 2В110Г, КВ110А, КВ110Г - від 12 до 18 пФ;

2В110Б, 2В110Д, КВ110Б, КВ110Д - від 14,4 до 21,6 пФ;

2В110В, 2В110Е, КВ110В, КВ110Е - від 17,6 до 26,4 пФ;

- добротність при $U_{звор} = 4$ В, $f = 50$ МГц, не менше:

2В110А, 2В110Б, 2В110В, КВ110А, КВ110Б, КВ110В – 300;

2В110Г, 2В110Д, 2В110Е, КВ110Г, КВ110Д, КВ110Е – 150;

- постійний зворотний струм при $U_{звор} = 45$ В:

при 298 К - 1 мкА;

при 213 К - 15 мкА;

Зм	Арк	№ докум	Підпис	Дат

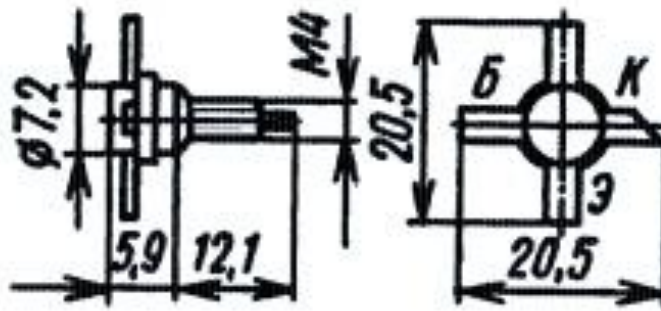


Рисунок 1.25 – Габаритні розміри транзистора КТ610Б

Призначені для застосування в підсилювачах напруги та потужності.
Електричні параметри транзистора були наведені вище.

Транзистор КТ315 – кремнієвий високочастотний біполярний транзистор малої потужності n-p-n провідності в корпусі КТ-13 (рис.1.26).

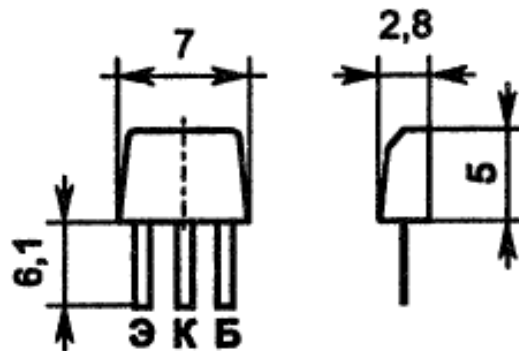


Рисунок 1.26 – Габаритні розміри транзистора КТ315

Технічні характеристики:

- зворотний струм колектора при $U_{КБ} = 10 \text{ В} - 1 \text{ мкА}$;
- зворотний струм емітера при $U_{ЕБ} = 5 \text{ В} - 30 \text{ мкА}$;
- вихідний опір $h_{11Б} - 40 \text{ Ом}$;
- коефіцієнт передачі струму $h_{21Е} - 50 \dots 350$;
- вихідна повна провідність $h_{22Б} - 0.3 \text{ мкСм}$;
- режим вимірювання h-параметрів:
напруга колектора $U_{К} - 10 \text{ В}$,
струм колектора $I_{К} - 1 \text{ мА}$;

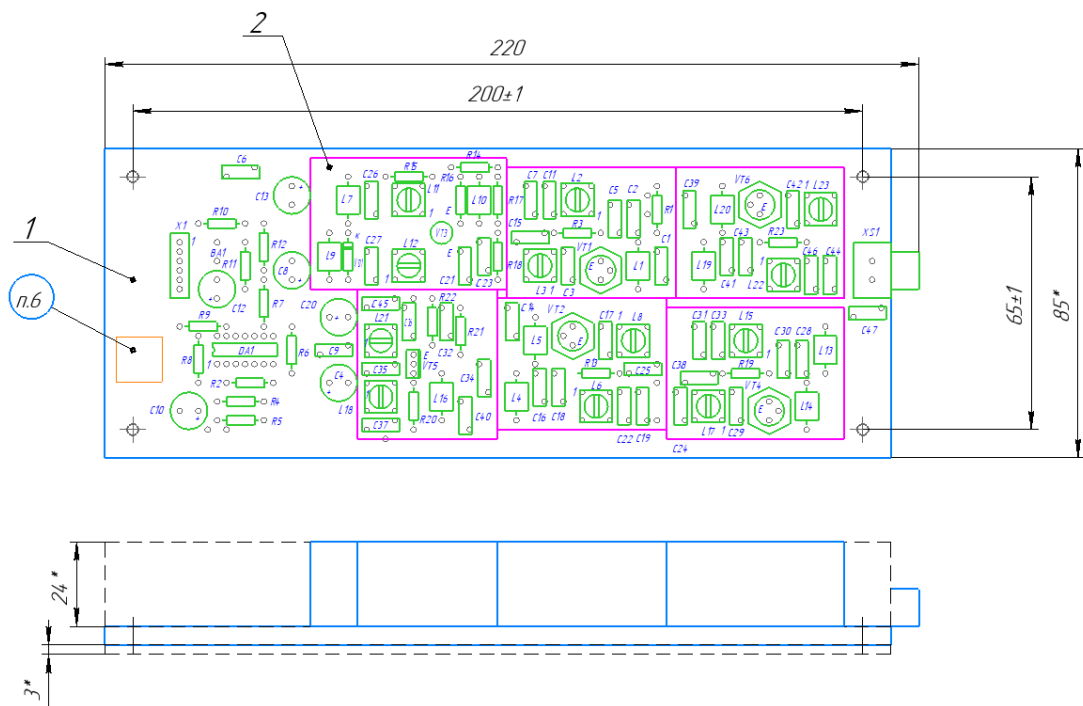


Рисунок 1.29 – Креслення друкованого вузла

Додатково на кресленні вказано способи встановлення нестандартних елементів, маркування, позначення дещимальних номерів, габаритні та кріпильні розміри тощо.

1.7 Висновки до розділу 1

В основній частині проведено: аналіз технічного завдання, аналіз методів отримання FM сигналів, проектування структурної та функціональної схеми детектора, побудова та параметричний синтез схеми електричної принципової, вибір елементної бази та розробка компоновки та монтажу приймача FM сигналів.

11. Транзисторы для аппаратуры широкого применения: Справочник. / К. М. Бережнева, Е. И. Гантман, Т. И. Давыдова и др. Под общей редакцией Б. Л. Перельман – М., «Радио и связь», 1981. – 656 с., ил.

12. Проектирование радиопередающих устройств: Учебник для вузов. / В. В. Шахгильдян, И. А. Попов и др.: Под редакцией В. В. Шахгильдяна. – М., «Радио и связь», 1984. – 424 с., ил.

13. Радиопередающие устройства связи и вещания: Учебник для техникумов. / О. Л. Муравьев – М., «Радио и связь», 1983. – 352 с., ил.

14. Проектирование радиопередающих устройств малой и средней мощности. / М. В. Верзунов, Е.Г. Лапицкий, А.М. Семеновский, Л.Н. Сосновский. - Л., «Энергия», 1967. – 376 с. с ил.

15. Справочник по акустике / Под ред. М. А. Сапожкова ; – М., «Связь», 1983. – 352 с., ил.

					БМВ 3.020.087.000 ПЗ	Арк
						78
Зм	Арк	№ докум	Підпис	Дат		

ДОДАТКИ

МІНІСТЕРСТВО ОСВІТИ І НАУКИ УКРАЇНИ
ТЕРНОПІЛЬСЬКИЙ НАЦІОНАЛЬНИЙ ТЕХНІЧНИЙ
УНІВЕРСИТЕТ ІМЕНІ ІВАНА ПУЛЮЯ

ЗАТВЕРДЖУЮ
Завідувач кафедру РТ
_____ к.т.н. Дунець В.Л.
“27” травня 2022 р.

ТЕХНІЧНЕ ЗАВДАННЯ
на кваліфікаційну роботу бакалавра
На тему: «Передавач FM сигналів»

Узгоджено:

Керівник кваліфікаційної роботи

Дедів І.Ю. _____

“ ____ ” _____ 2022 р.

“ВИКОНАВЕЦЬ”

Студент групи РАС-41

Багрій М.В. _____

“ ____ ” _____ 2022 р.

Тернопіль 2022

1 НАЗВА КВАЛІФІКАЦІЙНОЇ РОБОТИ Й ПІДСТАВА ДЛЯ ВИКОНАННЯ

1.1 Назва: “Передавач FM сигналів”

1.2 Підставою для виконання кваліфікаційної роботи є наказ по університету на затвердження дипломного проекту № 4/7-445 від 27.05.2021 р.).

2 ВИКОНАВЕЦЬ КВАЛІФІКАЦІЙНОЇ РОБОТИ

2.1. Студент Багрій М.В. групи РАс-41, кафедри радіотехнічних систем, Тернопільського національного технічного університету імені Івана Пулюя.

3 МЕТА КВАЛІФІКАЦІЙНОЇ РОБОТИ

Метою роботи є розробка передавача FM сигналів, що включає в себе:

- вибір апаратного забезпечення для даного пристрою;
- вибір елементної бази розроблювального пристрою;
- розрахунок і вибір компонентів для оптимальної роботи пристрою;
- розробку друкованої плати та друкованого вузла.

4 ТЕХНІЧНІ ВИМОГИ

- несуча частота: $f_o = 110 \text{ МГц}$;
- смуга модульованого сигналу: $\Delta F = 300 \dots 10000 \text{ Гц}$;
- схема частотно-модульованого автогенератора: B
- коефіцієнт фільтрації : $\Phi = 25 \text{ дБ}$;
- потужність випромінювання: $P_A = 15 \text{ Вт}$;
- нестабільність несучої частоти: $\frac{\delta f}{f_o} = 5 \cdot 10^{-4}$;

- коефіцієнт нелінійних спотворень: $K_{НИ} = 1,4\%$;

5 ВИМОГИ ДО ДОКУМЕНТАЦІЇ

5.1 Конструкторська документація повинна відповідати вимогам ЄСКД та ДСТУ.

5.2. Комплект конструкторської документації повинен складатися з:

- Пояснювальна записка;
- Структурна схема пристрою;
- Функціональна схема пристрою;
- Принципова схема пристрою;
- Друкована плата;
- Друкований вузол.

ПОРЯДОК ВИКОНАННЯ КВАЛІФІКАЦІЙНОЇ РОБОТИ

Таблиця 6.1 - Стадії та етапи виконання кваліфікаційної роботи

№ етапу	Назва етапу виконання	Термін виконання
1	Розробка та затвердження технічного завдання	22.02. 2022
2	Аналіз технічного завдання, підбір бібліографічних матеріалів, необхідних для виконання роботи	1.03. 2022
3	Вибір власних схемо-технічних рішень	16.03.2022
4	Вибір елементної бази для розроблюваного пристрою;	29.03.2022
5	Розрахунок основних вузлів у схемі пристрою.	12.04.2022
6	Створення допоміжної документації	26.04.2022
7	Розроблення креслень	26.04.2022
8	Розділ охорони праці та безпеки життєдіяльності	10.05.2022
9	Нормоконтроль	24.05.2022
10	Попередній захист	31.05.2022
11	Захист	23.05.2022

ДОДАТКОВІ УМОВИ ВИКОНАННЯ КВАЛІФІКАЦІЙНОЇ РОБОТИ

.1 Під час виконання кваліфікаційної роботи в дане технічне завдання можуть вноситися зміни та доповнення.

Поз. познач.	Найменування				Кіл.	Примітка		
	<u>Конденсатори</u>							
	K50-35 ОЖ0.460.079 ТУ							
	K10-17 ОЖ0.460.084 ТУ							
C1,C14	K10 -17-35 -1,9 нФ-А-В				2			
C2,C16	K10 -17-35 -1,9 нФ-А-В				2			
C3,C17	K10 -17-35 -62 пФ-А-В				2			
C4	K50-35-2,2 мкФ-16В±20%				1			
C5,C18	K10 -17-35 -62 пФ-А-В				2			
C6	K10 -17-35 -1,9 нФ-А-В				1			
C7,C19	K10 -17-35 -23 пФ-А-В				2			
C8	K50-35-1 мкФ-16В±20%				1			
C9	K10 -17-35 -100 нФ-А-В				1			
C10	K50-35-4,7 мкФ-16В±20%				1			
C11,C22	K10 -17-35 -148 пФ-А-В				2			
C12	K50-35-1 мкФ-16В±20%				1			
C13	K50-35-10 мкФ-16В±20%				1			
C15,C24	K10 -17-35 -274 пФ-А-В				2			
C20	K10 -17-35 -56 нФ-А-В				1			
C21	K10 -17-35 -8,2 пФ-А-В				1			
C23	K10 -17-35 -422 пФ-А-В				1			
C25,C39	K10 -17-35 -1,9 нФ-А-В				2			
C26	K10 -17-35 -3 пФ-А-В				1			
C27	K10 -17-35 -25 пФ-А-В				1			
C28,C41	K10 -17-35 -1,9 нФ-А-В				2			
C29,C42	K10 -17-35 -62 пФ-А-В				2			
C30,C43	K10 -17-35 -62 пФ-А-В				2			
C31,C44	K10 -17-35 -23 пФ-А-В				2			
					БМВ 3.020.087.000 ПЕЗ			
<i>Змн.</i>	<i>Арк.</i>	<i>№ докум.</i>	<i>Підпис</i>	<i>Дата</i>				
<i>Розроб.</i>	Багрій М.В.				Передавач FM сигналів Перелік елементів	<i>Літ.</i>	<i>Арк.</i>	<i>Аркушів</i>
<i>Перевір.</i>	Дедів І.Ю.							
<i>Н. Контр.</i>	Марценюк А.С					ФПТ, гр. РАС-41		
<i>Зав. каф.</i>	Дунець В.Л.							
<i>Реценз.</i>	Дозорський В.Г.							

Форма	Зона.	Поз.	Найменування	Найменування	Кіл.	Примітка		
				<u>Документація</u>				
A1			БМВ 6.020.087.000 СК	Складальне креслення				
A2			БМВ 3.020.087.000 ЕЗ	Схема електрична принципова				
A2			БМВ 3.020.087.000 Е1	Схема структурна				
				<u>Деталі</u>				
		1	БМВ 7.020.087.000	Плата друкована	1			
				<u>Стандартні вироби</u>				
				<u>Інші вироби</u>				
		2		Екран	6			
		3		Прокладка	5			
				<u>Конденсатори</u>				
				К50-35 ОЖ0.460.079 ТУ				
				К10-17 ОЖ0.460.084 ТУ				
		4		К10-17 – 1,9 нФ±5%	2	С1, С14		
		5		К10-17 – 1,9 нФ±5%	2	С2, С16		
		6		К10-17 – 62 пФ±5%	2	С3, С17		
		7		К50-35-35В – 2,2 мкФ±20%	1	С4		
		8		К10-17 – 62 пФ±5%	2	С5, С18		
		9		К10-17 – 1,9 нФ±5%	1	С6		
				БМВ 3.020.087.000				
Змн.	Арк.	№ докум.	Підпис	Дат				
Розроб.		Багрій М.В.			Передавач FM сигналів Друкований вузол	Лім.	Арк.	Аркушів
Перевір.		Дедів І.Ю.						
Н. Контр.		Марценюк А.С.				ФПТ, гр. РАс-41		
Затверд.		Дунець В.Л.						
Рецензент		Дозорський В.Г.						

